

بررسی دو ترکیب آلی دارای گروه عاملی نیترو بعنوان محافظه موقت خوردگی فولاد

فریبرز اتابکی^{۱*} و مهران رادور^۲

۱- استادیار دانشکده شیمی کاربردی، دانشگاه صنعتی مالک اشتر، اصفهان، ایران
۲- کارشناس ارشد دانشکده شیمی کاربردی، دانشگاه صنعتی مالک اشتر، اصفهان، ایران

دریافت: خرداد ۱۳۹۶، بازنگری: آبان ۱۳۹۶، پذیرش: آبان ۱۳۹۶

چکیده: قطعه‌های فولادی را می‌توان با استفاده از پوشش‌های محافظه موقت در برابر خوردگی اتمسفری محافظت کرد. بازدارنده‌ها بعنوان یکی از اجزای پوشش محافظه موقت، با جذب شدن بر سطح فلز، مکان‌های فعال سطح را اشغال کرده و درنتیجه سرعت خوردگی را کاهش می‌دهند. در این پژوهش، دو ترکیب ۳-نیتروفنیل مالتامیک اسید (NPMA) و ۴-دی‌نیتروفنیل مالتامیک اسید (DNPMA) تهیه و هر دو ترکیب به‌وسیله طیفسنجی فروسرخ تبدیل فوریه (FT-IR) شناسایی شدند. بازده تهیه NPMA و DNPMA به ترتیب ۸۰٪ و ۸۴٪ بهدست آمد. در ادامه، عملکرد این ترکیب‌ها بعنوان بازدارنده خوردگی موربدبررسی قرارگرفته به طوری که از آن‌ها در پوشش موقت محافظ روغنی استفاده شده است. برای این منظور، بازدارنده‌های تهیه شده با غلظت‌های ۳۰۰ ppm تا ۳۶۰۰ ppm به روغن افزوده و بعنوان پوشش محافظه موقت برای پوشش‌دهی سطوح نمونه‌های فولاد نرم به کار گرفته شدند. قطعه‌های پوشش داده درون اتاقکی با رطوبت نسبی ۱۰۰٪ و بر اساس ASTM D1748، قرار داده و بازدارنده‌گی خوردگی آن‌ها به کمک میکروسکوپ نوری و روش کاهش وزن بررسی شد. نتایج بیانگر تأثیر قابل توجه پوشش‌های دارای بازدارنده در کاهش خوردگی است. غلظت بهینه بازدارنده DNPMA ۹۰۰ ppm بود و بازدارنده NPMA عملکرد بهتری از خود نشان داد.

واژه‌های کلیدی: خوردگی اتمسفری، بازدارنده خوردگی، پوشش محافظه موقت ، فولاد نرم

مقدمه

فولاد به دلیل ویژگی مکانیکی عالی و قیمت مناسب یکی از مهم‌ترین و پرکاربردترین آلیازها است. از جمله کاربردهای فولاد می‌توان به استفاده در ساخت واکنشگاه‌های شیمیابی، دیگ بخار^۱، تانک‌های ذخیره‌سازی، برج‌های تنظیر، لوله‌های انتقال نفت و گاز، صنعت خودروسازی، سازه‌های فلزی، ابزارآلات و لوازم خانگی و ... اشاره کرد [۱ و ۲]. فولاد در مقابل پدیده خوردگی^۳ مقاوم

دارای یک یا چند هتروatom نیتروژن هستند. از جمله این ترکیب‌ها می‌توان به ترکیبات ایمیدازولین [۲۴ و ۲۵]، بنزاکسیدازول [۲۶]، تترازولیوم [۲۷]، پیریدین [۲۸]، بی‌پیرازول [۲۹]، پلی‌آنیلین [۳۰] و تیواوره [۳۱] اشاره کرد. فی^۶ و همکارانش نمک ایمیدازولین را به عنوان یک ترکیب آلی مناسب برای جلوگیری از خوردگی گزارش کردند. این نمک دارای اتم نیتروژن و گروه عاملی COO⁻ است که نقش مهمی در عملکرد بازدارنده ایفا می‌کنند [۳۲].

هدف از این پژوهش، بررسی عملکرد بازدارنده خوردگی ترکیب‌های ۳-نیتروفنیل مالتامیک اسید (NPMA) و ۴-دی‌نیتروفنیل مالتامیک اسید (DNPMA) است، که با وجود گروه‌های عاملی و ساختار مناسب، تاکنون به عنوان بازدارنده خوردگی در هیچ محیط و شرایطی مورد استفاده قرار نگرفته‌اند. این دو ترکیب به عنوان بازدارنده‌های خوردگی در پوشش‌های محافظ موقت روغنی برای فولاد نرم در معرض شرایط اتمسفری قرار گرفته‌اند. همچنین، برای بررسی نتایج از محاسبه‌های کاهش وزن و تصویربرداری با میکروسکوپ نوری استفاده شده است.

بخش تجربی

مواد

فلز مورد استفاده در این پژوهش از نوع فولاد نرم است که به صورت قطعه‌هایی در ابعاد ۱۰ mm × ۲۰ mm با ضخامت ۱ mm برش و سپس، با کاغذهای سمباده به شماره ۴۰۰، ۴۰۰ و ۱۲۰۰ و ۲۴۰۰ صیقل داده شدند. پس از آن قطعه‌های برش داده شده با اتانول و آب دوبار تقطیر شده شستشو شدند. درصد عناصر موجود در فولاد استفاده شده در جدول ۱ آورده شده است. روغن صنعتی به کار رفته در این پژوهش که ویژگی‌های فیزیکی آن در جدول ۲ بیان شده، از نوع (SN500SAE40) و تولید شرکت نفت سپاهان بود. ترکیب‌های شیمیایی ۳-نیترو آنیلین، ۲و۴-دی‌نیترو آنیلین، مالئیک اسید، دی‌متیل فرمامید (DMF) و متانول از شرکت مرک^۷ تهیه و مورد استفاده قرار گرفتند.

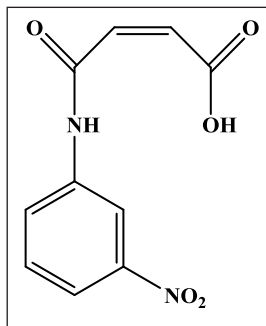
روش برای جلوگیری یا کاهش خوردگی وجود دارد که باتوجه به شرایط و نوع خوردگی مورد نظر، مناسب‌ترین روش جلوگیری از خوردگی انتخاب می‌شود. یکی از انواع خوردگی که بسیار متداول است، خوردگی اتمسفری^۸ است [۸]. قطعه‌ها و صفحه‌های فولادی در زمان ساخت، انبارداری و یا حمل و نقل ممکن است دچار خوردگی اتمسفری شوند. یکی از روش‌های جلوگیری از خوردگی اتمسفری قطعه‌ها و صفحه‌های فولادی استفاده از پوشش‌های محافظ موقت^۹ است. ویژگی مهم این پوشش‌ها چگونگی اعمال و همچنین، پاک کردن راحت آن از سطح فلز است که استفاده از آن را بسیار ساده کرده است. از پوشش‌های محافظ موقت برای جلوگیری از خوردگی اتمسفری در مراحل تولید یا انبارداری و پیش از اعمال پوشش دائمی استفاده می‌شود. یکی از متداول‌ترین پوشش‌های محافظ موقت روغن صنعتی است. روغن به صورت قابل توجهی مقدار خوردگی اتمسفری را کاهش می‌دهد. روغن همانند سدی در مقابل عوامل خوردنده قرار می‌گیرد و از نزدیک شدن این عوامل به سطح فلز جلوگیری می‌کند. افزایش بازدارنده خوردگی^{۱۰} به روغن عملکرد پوشش را افزایش داده و در کاهش ترکیب‌های آلی شامل یک یا چند ناجوراتم^{۱۱} با چگالی الکترونی بالا همانند اکسیژن، نیتروژن، فسفر، گوگرد و پیوندهای غیراشباع و حلقه‌های آروماتیک و همچنین، گروه‌های عاملی هستند [۱۱ تا ۱۵]. این ترکیب‌ها از طریق جذب^{۱۲} بر سطح فلز جایگزین عوامل خورنده موجود بر سطح فلز می‌شوند و بدین شکل عوامل خورنده را از سطح فلز دور می‌کنند. جذب به هر دو صورت شیمیایی و فیزیکی می‌تواند رخ دهد. گروه‌های عاملی و هتروatom‌ها به همراه پیوندهای غیراشباع بر مقدار جذب سطحی بازدارنده بر سطح فلز و درنتیجه عملکرد بازدارنده تأثیرگذار هستند [۲۰ تا ۲۱]. ترتیب تأثیر هتروatom‌ها بر مقدار جذب سطحی بازدارنده بدین صورت است: P < S < N < O که در آن فسفر بیشترین و اکسیژن کمترین تأثیر را دارد [۲۱ تا ۲۳]. تاکنون ترکیب‌های آلی بسیاری به عنوان بازدارنده تهیه و موردنرسی قرار گرفته‌اند. برخی از این ترکیب‌ها

1. Atmospheric corrosion 2. Temporary protective coatings 3. Corrosion inhibitor 4. Heteroatom 5. Adsorption 6. Fei 7. Merck Co.

جدول ۱ درصد وزنی (%) عناصر موجود در صفحه فولادی

Fe	C	P	S	Si	Mn	Cr	Mo
باقیمانده	۰,۰۵۳	۰,۰۱	۰,۰۰۶	۰,۰۱۳	۰,۱۹۲	۰,۰۰۶	۰,۰۰۲>
Ni	Al	Co	Cu	Nb	Ti	V	W
۰,۰۲۷	۰,۰۵۴	۰,۰۰۸	۰,۰۱۱	۰,۰۰۳>	۰,۰۰۱>	۰,۰۰۲	۰,۰۱۰>
Zr	Pb	Sn	As	Bi	Ca	B	Sr
۰,۰۰۲>	۰,۰۰۳>	۰,۰۰۱>	۰,۰۰۶	۰,۰۰۲>	۰,۰۰۱	۰,۰۰۱>	-

شبانه‌روز و در دمای ۴۰ درجه سانتی‌گراد این فراورده خشک شد. نقطه ذوب فراورده ۱۲۸ تا ۱۳۰ درجه سانتی‌گراد و بازده این واکنش ۸۰٪ بود. درنهایت فراورده به روش طیف‌سنجی FT-IR و با دستگاه JASCO 680 شناسایی شد. ساختار شیمیایی NPMA در شکل ۱ نشان داده شده است.



شکل ۱ ساختار شیمیایی NPMA

تهیه ۴-۴-دی‌نیتروفنیل مالئامیک اسید برای تهیه ۴-۴-دی‌نیتروفنیل مالئامیک اسید طبق روش گزارش شده توسط هیران^۲ و همکارانش، ابتدا مقدار ۵,۴۶ mmol مالئیک آنیدرید در ۵ میلی‌لیتر DMF حل شد. پس از آن ۵,۴۶ mmol از ۴-۴-دی‌نیترو آنیلین در ۱۰ میلی‌لیتر DMF حل و محلول مالئیک آنیدرید به آن افزوده شد. محلول به دست آمده در مرحله پیش به مدت ۳ ساعت در دمای محیط به خوبی هم‌زدہ شد. رسوب زرد پررنگ ایجاد شده، جدا و خشک شد. نقطه ذوب فراورده تهیه شده ۱۹۳–۱۹۱ درجه سانتی‌گراد است و بازده این واکنش ۸۴٪ به دست آمد. در شکل ۲ ساختار شیمیایی DNPMA نشان داده شده است.^[۳۴]

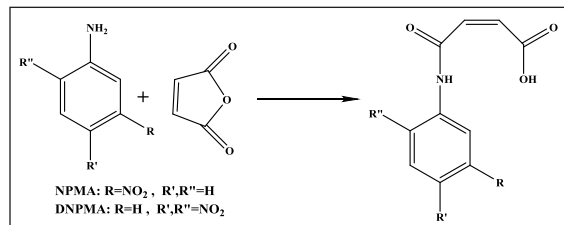
جدول ۲ ویژگی‌های فیزیکی روغن پایه صنعتی (SN500SAE40)

مرجع آزمون	روغن صنعتی (SN500SAE40)	ویژگی
Visual	شفاف	ظاهر
ASTM D1500	۱,۷	رنگ
ASTM D92	۲۴۶	فلش پوینت ^۱ (°C)
ASTM D97	-۳	نقطه جاری شدن ^۲ (°C)
ASTM D445	۱۱,۱۷۸	گرانزوی در (mm ^۲ s ^{-۱}) ۱۰۰ °C
ASTM D445	۱۰۶,۲۲	گرانزوی در (mm ^۲ s ^{-۱}) ۴۰ °C
ASTM D2270	۸۹,۲	شاخص گرانزوی ^۳ (min)

¹. Flash point². Pour point³. Viscosity index

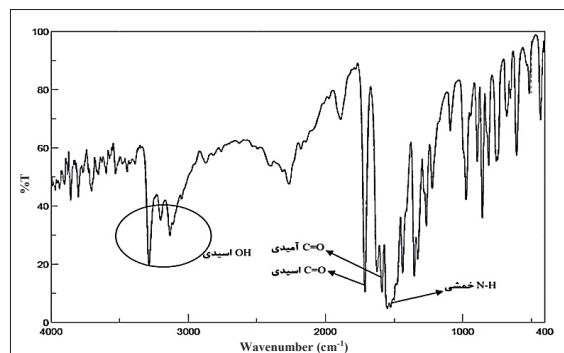
تهیه ۳ - نیتروفنیل مالئامیک اسید ترکیب ۳ - نیتروفنیل مالئامیک اسید بر اساس روش گزارش شده توسط یاوارج^۱ و همکارانش تهیه شد [۳۳]. به این منظور، ابتدا ۵,۷۷ mmol از ۵,۷۷ مالئیک آنیلین در ۱۰ میلی‌لیتر DMF حل شد. سپس، محلول مالئیک آنیدرید شامل ۵,۷۷ mmol مالئیک آنیدرید در ۵ میلی‌لیتر DMF تهیه و به محلول ۳-نیترو آنیلین افزوده شد. محلول به دست آمده به مدت ۳ ساعت در دمای محیط هم‌زدہ تا رسوب زرد کمرنگ تشکیل شود، در ادامه فراورده صاف شد. سپس در آون به مدت یک

با مالیک اندیrid در حلال DMF تهیه شدند. فراورده مورد نظر پس از ۳ ساعت هم زدن مخلوط مربوط در دمای محیط به صورت رسوب زرد نگ به دست آمد. ساز و کار این واکنش در شکل ۳ نشان داده شده است.



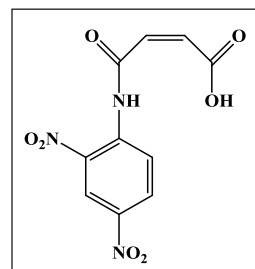
شکل ۳ ساز و کار تهیه NPMA و DNPMA

ساختار ترکیب ۳- نیتروفنیلماٹامیک اسید با طیف سنجی فروسرخ تبدیل فوریه (FT-IR) تأیید شد. طیف فروسرخ تبدیل فوریه این ترکیب در شکل ۴ آورده شده است . این ترکیب دارای جذبی در محدوده $3400-2400\text{ cm}^{-1}$ است که به دلیل OH کششی اسیدی است. همچنین، جذب‌های C=O 1710 cm^{-1} ، 1631 cm^{-1} ، 1569 cm^{-1} و 1546 cm^{-1} به ترتیب مربوط به اسیدی، C=O آرماتیک، C=C آرماتیک، N-H خمی هستند. نوارهای جذبی 1528 cm^{-1} و 1520 cm^{-1} ناشی از گروه NO_2 است. پیدایش نوارهای جذبی مربوط به CO آسیدی و NH آسیدی که در واکنشگرهای اولیه وجود ندارد، گواهی بر تهیه این فراورده است.



شکل ۴ طیف فروسرخ تبدیل فوریه NPMA

1. Critical relative humidity



شکل ۲ ساختار شیمیایی DNPMA

آزمون‌های خودگی

برای تهیه پوشش‌های محافظ موقت، مقداری از بازدارنده‌ها درون روغن صنعتی ریخته شد تا غلظت‌های 300 ppm تا 360 ppm به دست آید. سپس، قطعه‌های فولادی به روش غوطه‌وری، با این پوشش‌ها، پوشانده شدند. برای بررسی عملکرد پوشش‌های محافظ موقت تهیه شده و مقایسه آن با پوشش روغن بدون بازدارنده، قطعه‌های پوشیده شده درون اتاقکی با رطوبت 100% قرار گرفتند. رطوبت نسبی بحرانی^۱ برای فولاد 60% است و این اتاقک با ایجاد بیشترین رطوبت، شدیدترین شرایط خودگی اتمسفری را فراهم می‌کند [۸]. اتاقک رطوبت 100% بر اساس استاندارد ASTM D1748 و توسط دانشگاه صنعتی مالک اشتراخ شد. نمونه‌ها پس از 60 ، 120 ، 180 و 240 ساعت از اتاقک رطوبت خارج شدند و مورد بررسی قرار گرفتند. نمونه‌های خارج شده ابتدا با میکروسکوپ نوری (ساخت شرکت MLCO) با بزرگنمایی $64\times$ برابر بررسی و سپس کاهش وزن آن‌ها محاسبه شد. برای محاسبه کاهش وزن، نمونه‌های خارج شده از اتاقک رطوبت طبق استاندارد ASTM G1-03 شستشوی شیمیایی شدند تا تمام آثار خودگی از روی آن‌ها پاک شود. سپس، وزن هر کدام از نمونه‌ها با ترازویی با دقیق 10^{-4} g به دست آمد. وزن‌های به دست آمده برای هر قطعه با وزن اولیه آن مقایسه و کاهش وزن، محاسبه شد.

نتایجه‌ها و بحث

تهیه و بررسی بازدارنده‌ها

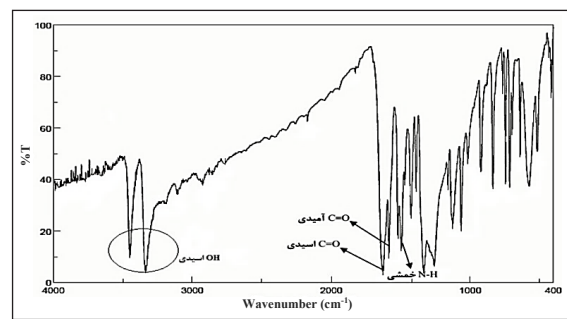
بازدارنده‌ها از واکنش ۳- نیتروآنیلین یا ۲- دی‌نیتروآنیلین

پس از آن مقدار کاهش وزنشان محاسبه شد. با استفاده از فرمول شماره ۱ درصد محافظت پوشش‌ها محاسبه شد.

$$\frac{W_0 - W_i}{W_0} \times 100 = \text{درصد محافظت} \quad (1)$$

در این معادله W_0 و W_i به ترتیب بیانگر کاهش وزن در غیاب و در حضور پوشش محافظت موقت هستند. درصد محافظت تمام پوشش‌ها در زمان‌های متفاوت محاسبه شد و در جدول‌های ۳ و ۴ آورده شده است. همان‌گونه که مشاهده می‌شود، افزودن بازدارنده به روغن باعث افزایش کارایی آن شده است. بازدارنده‌ها از طریق به اشتراک گذاشتن الکترون بین هتروatom‌ها و اتم آهن و همچنین، واکنش بین الکترون‌های π موجود در حلقه آراماتیک و سطح فلز، جذب سطح فلز می‌شوند [۳۵]. بازدارنده‌ها با جذب شدن بر سطح فولاد، جایگزین قطره‌های آب و عوامل خورنده می‌شوند و آن‌ها را از سطح فولاد دور می‌کنند، درحالی که روغن قادر به انجام چنین کاری نیست. با توجه به جدول‌های ۳ و ۴ غلظت بهینه برای بازدارندها ۹۰۰ ppm است و در غلظت‌های کمتر به علت کمبود بازدارنده و در غلظت‌های بیشتر به دلیل مقدار افزوده شده بازدارنده، پوشش عملکرد ضعیف‌تری دارد. مقدار اضافی بازدارنده تشکیل لایه یکنواخت و غیر قطبی روغن را دچار مشکل می‌کنند و با قرارگیری در لایه روغنی تا حدودی به انتقال آب و عوامل خورنده کمک می‌کنند [۳۶]. بیشترین درصد محافظت برای پوشش روغن بدون بازدارنده ۷۷٪ است، درحالی که برای پوشش‌های دارای بازدارنده پوشش‌های استفاده شده بهترین عملکرد مربوط به پوشش‌های دارای بازدارنده DNPMA است، زیرا این ترکیب دارای گروه نیترو بیشتری بوده و بدین صورت توانایی جذب سطحی بهتری دارد. همچنین، چگونگی قرار گرفتن گروه‌های نیترو در مولکول نیز اثر مهمی بر بازدارندگی ترکیب‌های آلی دارد [۳۷].

ساختار ۲-۴- دی‌نیتروفنیل ماثامیک اسید تهیه شده با طیف‌سنجی فروسرخ تبدیل فوریه اثبات شد. در این طیف نوارهای جذبی موجود در گستره عدد موجی cm^{-1} ۳۴۰۰-۲۴۰۰، ۱۷۰۶ cm^{-1} ، ۱۶۲۹ cm^{-1} ، ۱۵۶۸ cm^{-1} و ۱۵۵۰ cm^{-1} به ترتیب نشان‌دهنده OH اسیدی، $\text{C}=\text{O}$ آمیدی، $\text{C}=\text{C}$ آراماتیک، N-H خمی هستند. دو نوار جذبی موجود در ۱۳۳۸ cm^{-1} و ۱۵۰۷ cm^{-1} متعلق به گروه نیترو است. طیف فروسرخ تبدیل فوریه ۲-۴- دی‌نیتروفنیل ماثامیک اسید در شکل ۵ نشان داده شده است.



شکل ۵ طیف فروسرخ تبدیل فوریه A

بررسی‌های خوردگی درصد محافظت

بازدارنده‌های تهیه شده به روغن صنعتی افزوده شدند و پوشش‌های محافظت موقت با غلظت‌های ۳۰۰ ppm، ۲۶۰۰ ppm، ۲۲۰۰ ppm، ۱۸۰۰ ppm، ۱۵۰۰ ppm، ۱۲۰۰ ppm، ۹۰۰ ppm و ۶۰۰ ppm به دست آمد. برای مقایسه پوشش روغن بدون بازدارنده با پوشش‌های روغنی دارای بازدارنده و همچنین، به دست آوردن غلظت بهینه بازدارنده‌ها، قطعه‌های فولادی با این پوشش‌ها پوشانده شدند و درون اتافک رطوبت قرار گرفتند. نمونه‌ها در زمان‌های ۶۰، ۱۲۰، ۱۸۰ و ۲۴۰ ساعت از اتافک خارج شده و مقدار کاهش وزن هریک محاسبه شد. نمونه‌های خارج شده بر اساس استاندارد ASTM G1-03 شستشوی شیمیایی شد تا آثار خوردگی از روی آن‌ها پاک و

$$MPY = \frac{534W}{DAT} \quad (2)$$

سرعت خوردگی در این معادله بر حسب میل در سال^۱ (یک میل برابر یک هزار میل) محاسبه شده است و W بیانگر کاهش وزن بر حسب میلی گرم، D نشان دهنده چگالی قطعه (g/cm³)، A مساحت سطح نمونه (in²) و T مدت زمان آزمون بر حسب ساعت است. سرعت خوردگی های محاسبه شده برای تمام قطعه های فولادی در جدول های ۵ و ۶ آورده شده است. سرعت خوردگی قطعه های پوشیده شده با روغن کمتر از قطعه های بدون پوشش است. این نکته بیانگر مؤثر بودن روغن در کاهش خوردگی اتمسفری است. هر چند روغن خوردگی فولاد را به شکل قابل توجهی کاهش داد، اما کافی نیست. با افزودن بازدارنده به روغن، مقدار خوردگی به صورت چشمگیری کاهش می یابد. داده های موجود در جدول های ۵ و ۶ نتایج بدست آمده از درصد محافظت را تأیید می کنند. سرعت خوردگی با افزودن بازدارندهها به روغن کاهش یافته و کمترین سرعت خوردگی مربوط به غلظت روغن بدون پوشش است.

جدول ۵ سرعت خوردگی قطعه های پوشیده شده با پوشش های محافظ
وقت حاوی بازدارنده NPMA

سرعت خوردگی (MPY)					غلظت بازدارنده در روغن (ppm)
پس از ۲۴۰ ساعت	پس از ۱۸۰ ساعت	پس از ۱۲۰ ساعت	پس از ۶۰ ساعت		
۲۰,۷۹	۲۳,۱۰	۳۱,۷۳	۳۴,۴۲	نمونه بدون پوشش	
۱۸,۹۱	۱۸,۶۳	۱۸,۰۸	۱۷,۹۰	روغن بدون بازدارنده	
۱۲,۶۷	۱۲,۲۸	۸,۰۴	۴,۳۷	۳۰۰	
۶,۰۱	۷,۱۵	۶,۲	۳,۴۶	۶۰۰	
۲,۷۸	۲,۴۵	۱,۴۷	۱,۴۵	۹۰۰	
۳,۱۰	۴,۳۷	۲,۱	۲,۱۸	۱۲۰۰	
۴,۴۶	۵,۹۵	۵,۶۵	۲,۱۸	۱۵۰۰	
۱۰,۳۹	۷,۷۸	۶,۷۴	۳,۶۴	۱۸۰۰	
۶,۲۹	۸,۰۲	۵,۳۲	۴,۰۱	۳۶۰۰	

1. Mills per Year

جدول ۳ درصد محافظت پوشش های محافظ موقت حاوی بازدارنده NPMA

درصد محافظت					غلظت بازدارنده در روغن (ppm)
پس از ۲۴۰ ساعت	پس از ۱۸۰ ساعت	پس از ۱۲۰ ساعت	پس از ۶۰ ساعت	پس از ۳۰ ساعت	
۳۰,۳۰	۳۹,۷۶	۴۶,۲۰	۵۳,۷۷	۵۳,۷۷	روغن بدون بازدارنده
۳۹,۰۳	۵۲,۶۷	۵۵,۷۴	۷۸,۵۷	۳۰۰	
۷۱,۰۵	۸۱,۰۵	۸۴,۵۰	۸۲,۱۴	۶۰۰	
۹۰,۲۹	۹۱,۶۸	۹۳,۵۲	۹۴,۸۵	۹۰۰	
۵۸,۰۸	۷۴,۲۱	۹۰,۲۲	۸۹,۲۸	۱۲۰۰	
۵۰,۷۸	۶۶,۳۱	۸۲,۱۸	۸۹,۲۸	۱۵۰۰	
۶۵,۰۰	۶۵,۲۶	۷۸,۷۳	۸۱,۴۲	۱۸۰۰	
۶۳,۷۹	۶۵,۲۷	۷۲,۵۱	۸۰,۳۵	۳۶۰۰	

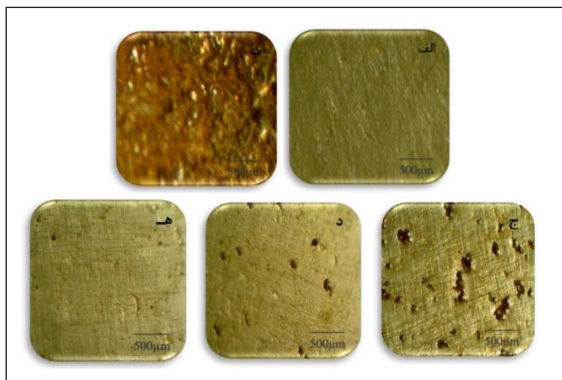
جدول ۴ درصد محافظت پوشش های محافظ موقت حاوی بازدارنده DNPMA

درصد محافظت					غلظت بازدارنده در روغن (ppm)
پس از ۲۴۰ ساعت	پس از ۱۸۰ ساعت	پس از ۱۲۰ ساعت	پس از ۶۰ ساعت	پس از ۳۰ ساعت	
۳۰,۳۰	۳۹,۷۶	۴۶,۲۰	۵۳,۷۷	۵۳,۷۷	روغن بدون بازدارنده
۶۷,۷۱	۷۳,۱۵	۷۷,۵۸	۷۸,۷۶	۳۰۰	
۷۱,۰۵	۹۰,۲۱	۹۰,۲۲	۹۲,۱۴	۶۰۰	
۹۰,۹۸	۹۲,۳۱	۹۶,۵۵	۹۶,۹۲	۹۰۰	
۸۸,۱۵	۸۹,۷۰	۹۰,۱۰	۹۰,۰۰	۱۲۰۰	
۸۷,۹۱	۸۹,۶۳	۹۰,۲۲	۹۰,۵۷	۱۵۰۰	
۸۱,۱۴	۸۲,۵۲	۸۴,۷۸	۸۵,۴۲	۱۸۰۰	
۷۱,۹۶	۷۸,۴۹	۷۸,۷۳	۸۵,۶۷	۳۶۰۰	

سرعت خوردگی

با استفاده از کاهش وزن بدست آمده از نمونه ها، افزون بر درصد محافظت، سرعت خوردگی را نیز می توان محاسبه کرد. مقایسه سرعت خوردگی قطعه های فولادی اطلاعات مفیدی در مورد پوشش ها و تأثیر آن ها در جلوگیری از خوردگی اتمسفری به ما می دهد. برای محاسبه سرعت خوردگی از معادله ۲ استفاده شد.

عملکرد پوشش روغنی را به روشنی مشاهده کرد. برتری پوشش دارای بازدارنده DNPMA در این تصاویر به طور کامل مشهود است.



شکل ۶ تصاویر سطح قطعه‌های فولادی پس از ۶۰ ساعت قرارگیری در اتاقک رطوبت. (الف): پیش از خوردگی (ب): نمونه بدون پوشش پس از خوردگی (ج): نمونه پوشیده شده با روغن، پس از خوردگی (د) نمونه پوشیده شده با پوشش محافظ موقت حاوی NPMA پس از خوردگی (ه) نمونه پوشیده شده با پوشش محافظ موقت حاوی DNPMA پس از خوردگی

جدول ۶ سرعت خوردگی قطعه‌های پوشیده شده با پوشش‌های محافظ موقت حاوی بازدارنده DNPMA

پس از ساعت	سرعت خوردگی (MPY)	غلظت بازدارنده در روغن پایه (ppm)				
					۲۰,۷۹	نمونه بدون پوشش
۱۸,۹۱	۱۸,۶۳	۱۸,۰۸	۱۷,۹۰	۱۷,۹۰	روغن بدون بازدارنده	
۱۲,۹۵	۶,۲۰	۷,۱۱	۴,۷۴	۳۰۰		
۶,۰۱	۳,۳۳	۳,۱۰	۳,۶۴	۶۰۰		
۲,۰۹	۱,۸۵	۱,۰۹	۰,۸۵	۹۰۰		
۲,۴۶	۲,۹۷	۲,۱۸	۳,۲۸	۱۲۰۰		
۳,۴۵	۳,۲۰	۳,۱۰	۴,۳۷	۱۵۰۰		
۳,۹۲	۳,۲۸	۴,۱۹	۵,۸۳	۱۸۰۰		
۳,۹۱	۳,۵۵	۶,۷۴	۶,۵۶	۳۶۰۰		

بررسی سطح نمونه‌ها

نتیجه‌گیری
ترکیب‌های آلی ۳ - نیتروفنیل مالئامیک اسید و ۴-۲-دی‌نیتروفنیل مالئامیک اسید تهیه و به عنوان بازدارنده خوردگی اتمسفری به روغن افزوده شدند. روغن به عنوان یکی از متداول‌ترین پوشش‌های محافظ خوردگی موردنظری و مقایسه برقرار گرفت. افزایش بازدارنده‌ها به روغن، تأثیر قابل توجهی بر کاهش خوردگی اتمسفری فولاد داشت. غلظت بهینه بازدارنده‌ها در روغن ۹۰۰ ppm و عملکرد بازدارنده DNPMA با داشتن گروه عاملی بیشتر، مطلوب‌تر بود. بیشترین درصد محافظت برای هر کدام از پوشش‌های محافظ موقت شامل ۹۴,۸۵٪ و ۹۶,۹۲٪ بود که به ترتیب مربوط به پوشش روغنی، پوشش حاوی NPMA و پوشش حاوی DNPMA بود. تصاویر میکروسکوپ نوری نیز بیانگر تأثیر مطلوب پوشش‌های محافظ در کاهش خوردگی فولاد بودند و نتایج بدست آمده از سایر آزمون‌ها را تأیید کردند.

از آثار خوردگی به جا مانده بر سطح فلز می‌توان اطلاعات مفیدی در رابطه با خوردگی به دست آورد. بدین دلیل نمونه‌های خارج شده از اتاقک رطوبت پیش از شستشوی شیمیایی و محاسبه کاهش وزن، ابتدا مورد عکس‌برداری با میکروسکوپ نوری با بزرگنمایی ۶۴ برابر قرار گرفتند. شکل ۶ نشان‌دهنده نمونه‌ها پس از ۶۰ ساعت حضور در اتاقک رطوبت است. شکل ۶-الف سطح فولاد پیش از پوشیده شدن با پوشش‌ها و قرارگیری در اتاقک رطوبت را نشان می‌دهد. سطح فولاد بدون پوشش پس از ۶۰ ساعت حضور در اتاقک رطوبت در شکل ۶-ب و فولاد پوشیده شده با روغن بدون بازدارنده در شکل ۶-ج نشان داده شده است. شکل‌های ۶-د و ۶-ه مربوط به سطوح پوشیده شده با روغن دارای بازدارنده است. سه شکل آخر، تأثیر مطلوب پوشش‌های محافظ موقت روغنی را نشان می‌دهد. استفاده از این پوشش‌ها به شکل قابل توجهی مقدار خوردگی اتمسفری را کاهش داده است. همچنین، از مقایسه این تصاویر می‌توان اثر بازدارنده در افزایش

مراجع

- [1] El-Etre, A.; Ali, A.; Chinese Journal of Chemical Engineering 25, 373-380, 2017.
- [2] Xu, B.; Yang, W.; Liu, Y.; Yin, X.; Gong, W.; Chen, Y.; Corrosion Science 78, 260-268, 2014.
- [3] El Adnani, Z.; Mcharfi, M.; Sfaira, M.; Benzakour, M.; Benjelloun, A.; Touhami, M.E.; Corrosion Science 68, 223-230, 2013.
- [4] Raja, P.B.; Qureshi, A.K.; Rahim, A.A.; Osman, H.; Awang, K.; Corrosion Science 69, 292-301, 2013.
- [5] Olasunkanmi, L.O.; Obot, I.B.; Kabanda, M.M.; Ebenso, E.E.; Journal of Planar Chromatography 119, 16004-16019, 2015.
- [6] Goulart, C.M.; Esteves-Souza, A.; Martinez-Huitle, C.A.; Rodrigues, C.J.F.; Maciel, M.A.M.; Echevarria, A.; Corrosion Science 67, 281-291, 2013.
- [7] Deng, S.; Li, X.; Xie, X.; Corrosion Science 80, 276-289, 2014.
- [8] Ghanbarzadeh, A.; Akbarinezhad, E.; Progress in Organic Coatings 56, 39-45, 2006.
- [9] Atabaki, F.; Jahangiri, S., Journal of Applied Chemistry 11, 67-74, 2017.
- [10] Sanyal, B.; Preston, R.S.J.; Journal of Chemical Technology & Biotechnology 3, 366-374, 1953.
- [11] Kumari, P.P.; Shetty, P.; Rao, S.A.; Arabian Journal of Chemistry 12, 1-29, 2014.
- [12] Ramesh, S.V.; Adhikari, A.V.; Materials Chemistry and Physics 115, 618-627, 2009.
- [13] Solmaz, R.; Altunbaş, E.; Kardaş, G., Materials Chemistry and Physics 125, 796-801, 2011.
- [14] Khadiri, A.; Saddik, R.; Bekkouche, K.; Aouniti, A.; Hammouti, B.; Benchat, N.; Bouachrine, M.; Solmaz, R.; Journal of the Taiwan Institute of Chemical Engineers 58, 552-564, 2016.
- [15] Cao, Z.; Tang, Y.; Cang, H.; Xu, J.; Lu, G.; Jing, W.; Corrosion Science 83, 292-298, 2014.
- [16] Tribak, Z.; Haoudi, A.; Skalli, M.; Rodi, Y. K.; El Azzouzi, M.; Aouniti, A.; Hammouti, B.; Senhaji, O.; Journal of Materials and Environmental Science 8, 298-309, 2017.
- [17] Zulkifli, F.; Ali, N.A.; Yusof, M.S.M.; Khairul, W.M.; Rahamathullah, R.; Isa, M.; Wan Nik, W.; Advances in Physical Organic Chemistry 25, 1-12, 2017.
- [18] Belghiti, M.; Karzazi, Y.; Dafali, A.; Obot, I.; Ebenso, E.; Emran, K.; Bahadur, I.; Hammouti, B.; Bentiss, F.; Journal of Molecular Liquids 216, 874-886, 2016.
- [19] Verma, C.; Ebenso, E.; Bahadur, I.; Obot, I.; Quraishi, M.; Journal of Molecular Liquids 212, 209-218, 2015.
- [20] Torres, V.; Rayol, V.; Magalhães, M.; Viana, G.; Aguiar, L.; Machado, S.; Orofino, H.; D'Elia, E.; Corrosion Science 79, 108-118, 2014.
- [21] Kurniawan, F.; Madurani, K.A.; Progress in Organic Coatings 88, 256-262, 2015.
- [22] Kertit, S.; Hammouti, B.; Applied Surface Science 93, 59-66, 1996.
- [23] Ghazoui, A.; Bencah, N.; Al-Deyab, S.; Zarrouk, A.; Hammouti, B.; Ramdani, M.; Guenbour, M.; International Journal of Electrochemical Science 8, 2272-2292, 2013.
- [24] Keera, S.; Farid, N.; Mohamed, K.; Energ. Source. Part A: Recovery, Utilization, and Environmental Effects 34, 1371-1383, 2012.
- [25] چقازردی، مصیب؛ رضایی راد، علیرضا؛ رحیمی زیناب، علیرضا؛ نشریه [JARC] پژوهش‌های کاربردی در شیمی ۱۳۹۳، ۶۵-۷۶، ۲(۱)

- [26] Amar, H.; Tounsi, A.; Makayssi, A.; Derja, A.; Benzakour, J.; Outzourhit, A.; Corrosion Science 49, 2936-2945, 2007.
- [27] Li, X.; Deng, S.; Fu, H.; Corrosion Science 53, 302-309, 2011.
- [28] Mert, B.D.; Yüce, A.O.; Kardaş, G.; Yazıcı, B.; Corrosion Science 85, 287-295, 2014.
- [29] Tebbji, K.; Bouabdellah, I.; Aouniti, A.; Hammouti, B.; Oudda, H.; Benkaddour, M.; Rmandani, A.; Materials Letters 61, 799-804, 2007.
- [30] Mostafaei, A.; Nasirpouri, F.; Progress in Organic Coatings 77, 146-159, 2014.
- [31] El Haleem, S.A.; El Wanees, S.A.; El Aal, E.A.; Farouk, A.; Corrosion Science 68, 1-13, 2013.
- [32] Fei, F.L.; Hu, J.; Yu, Q.J.; Wei, J.X.; Nong, Y.B.; Materials and Corrosion 66, 1039-1050, 2015.
- [33] Yavaraj, G.; Nema, R.K.; American Journal of Biological and Pharmaceutical Research 4, 356-362, 2011.
- [34] Hiran, B.L.; Boriwal, R.; Paliwal, S.N.; Singh, D.; Journal of Chemical and Pharmaceutical Research 3, 793-799, 2011.
- [35] Bouklah, M.; Hammouti, B.; Lagrenée, M.; Bentiss, F.; Corrosion Science 48, 2831-2842, 2006.
- [36] Ali, M.F.; Alqam, M.H., Fuel 79, 1309-1316, 2000.
- [37] Bhagat, S.; Bhagat, T.; Unchadkar, A.; Deshpande, M.; Oriental Journal of Chemistry 26, 1545-1548, 2010.